

بِسْمِ اللَّهِ الرَّحْمَنِ الرَّحِيمِ



دانشگاه اصفهان

دانشکده علوم

گروه زیست شناسی

پایان نامه کارشناسی ارشد رشته زیست شناسی گرایش ژنتیک

بررسی پیوستگی نامتعادل مارکرهای تک نوکلئوتیدی پلی مورف در ناحیه ۵ لوکوس بتا گلوبین نسبت به ژن بتا گلوبین

استاد راهنما:

دکتر صادق ولیان بروجنی

پژوهشگر:

صدیقه گیوی

شهریورماه ۱۳۹۰

کلیه حقوق مادی مترتب بر نتایج مطالعات، ابتكارات و نوآوری های ناشی از تحقیق موضوع این پایان نامه متعلق به دانشگاه اصفهان است.



دانشگاه اصفهان

دانشکده علوم

گروه زیست شناسی

پایان نامه‌ی کارشناسی ارشد رشته‌ی زیست شناسی گرایش ژنتیک خانم
صدیقه گیوی

تحت عنوان

**بررسی پیوستگی نامتعادل مارکرهای تک نوکلئوتیدی پلی مورف در ناحیه ۵
لوکوس بتا گلوبین نسبت به ژن بتا گلوبین**

در تاریخ ۹۰/۶/۲۸ توسط هیأت داوران زیر بررسی و با درجه عالی به تصویب نهایی رسید.

- | | |
|-------|--|
| امضاء | ۱- استاد راهنمای پایان نامه دکتر صادق ولیان بروجنی با مرتبه‌ی علمی دانشیار |
| امضاء | ۲- استاد داور داخل گروه دکتر سهیلا رهگذر با مرتبه‌ی علمی استادیار |
| امضاء | ۳- استاد داور خارج از گروه دکتر منصور صالحی با مرتبه‌ی علمی دانشیار |

امضای مدیر گروه

تقدیر و تشکر:

خداآوند را شاکرم که توفیق انجام این پروژه را به من اعطا کرد.

از پدر و مادرم که در لحظه لحظه های زندگی همراه، یاور و مشوقم بودند،

از همسر خوبم که همیشه در کنارم بود،

از استاد ارجمند، دکتر ولیان که در طول این پروژه با راهنمایی های ارزشمندانه مرا یاری نمودند،

از اساتید ارجمند دکتر منصور صالحی و دکتر سهیلا رهگذر کمال تشکر و قدر دانی را دارم.

چکیده:

بنا تالاسمی یک بیماری مغلوب اتوزمی است که با کاهش زنجیره‌ی بنا همراه است. بنا تالاسمی از جمله شایع‌ترین بیماری‌های تک ژنی در ایران است. به دلیل وجود چهش‌های متعدد در ژن بنا تالاسمی استفاده از مارکرهای پیوسته به ژن در دنبال کردن آلل بیماری را مفید است. وجود یک نقطه‌ی داغ نوترکیبی فعال در ناحیه⁵ ژن β می‌تواند کاربرد مارکرهای چندشکلی واقع در این ناحیه را در تشخیص ناقلین و موارد قبل از تولد بیماری دچار مخاطره نماید. به منظور بررسی میزان پیوستگی مارکرهای چندشکلی در ناحیه⁵ ژن β در جمعیت ایرانی، سه مارکر (*AvaII* (درموقعیت $+50.6\beta$ ، *RsaI* (درموقعیت -55.0β) و *HindIII* (داخل ژن γ) انتخاب شدند. این سه مارکر با استفاده از RFLP-PCR در ۱۵۰ فرد غیرخوشاوند در جمعیت ایرانی تعیین ژنوتیپ شدند. فراوانی الی و درجه هتروزیگوستی برای افراد غیرخوشاوند با برنامه GENEPOP تخمین زده شد. محاسبه عدم تعادل پیوستگی در افراد غیرخوشاوند توسط دو نرم‌افزار MIDAS و 2LD آنالیز شد.

مقایسه نتایج حاصل از تخمین فراوانی الی و درجه هتروزیگوستی مشاهده شده مارکرهای *AvaII* و *HindIII* *AvaII* و *RsaI* نشان داد که هر سه مارکر پلی مورفیسم و درجه هتروزیگوستی بالا دارند. با مقایسه χ^2 دو مارکر *AvaII* و *RsaI* در تعادل هاردی واینبرگ قرار داشتند ولی *HindIII* در تعادل هاردی واینبرگ نیست و به سمت افزایش هتروزیگوتی در جمعیت بوده است. بوسیله نرم افزار MIDAS، مقدار D' برای هاپلوتیپ *AvaII-RsaI*، برای هاپلوتیپ *AvaII-HindIII* و برای هاپلوتیپ *RsaI-HindIII* بدست آمد. مقدار χ^2 به دست آمده برای این سه هاپلوتیپ *RsaI-HindIII* و *AvaII-HindIII* از مقدار χ^2 در جدول χ^2 و در سطح احتمال $P < 0.05$ کوچک‌تر بود. نتایج بدست آمده نشان داد که مارکرهای *AvaII* و *HindIII* *RsaI* در *HindIII* پیوستگی متعادل قرار دارند. مطالعات بیوانفورماتیک نشان داد دو جایگاه SNP برای جایگاه شناسایی آنزیم *HindIII* وجود دارد. محصولات PCR مربوط به *HindIII* برای بررسی وجود SNP‌های مختلف در این ناحیه تعیین توالی شدند ولی این مارکر در افراد سالم با ژنوتیپ منفی تنها یک SNP داشت.

نتایج بدست آمده نشان می‌دهد به علت وجود ناحیه داغ نوترکیبی در ۵' ژن β مارکرهای خوش β را در دو گروه ساب-هاپلوتیپی ۳' و ۵' می‌توان تقسیم کرد که در هر گروه LD بالا وجود دارد ولی بین مارکرهای دو گروه هاپلوتیپی ۳' و ۵' LD وجود ندارد. مارکر *RsaI* موجود در ناحیه نقطه‌دادغ با هیچ کدام از دو گروه هاپلوتیپی ۳' و ۵' LD نداشت. مارکر های پلی‌مرف *RsaI* و *HinfI* در بین توالی های تکراری قرار دارند.

کراسینگ‌آور نابرابر در توالی های تکراری می‌تواند سبب تصادفی بودن مارکرهای *RsaI* و *HinfI* نسبت به ساب-هاپلوتیپ ۳' و ۵' باشد. مارکرهای ۵' ناحیه نقطه‌دادغ را می‌توان در مطالعات همبستگی چهش و هاپلوتیپ استفاده کرد یعنی آلل‌های موتانت به طور قوی با هاپلوتیپ های خاص RFLP پیوستگی دارند.

کلمات کلیدی: ژن بتاگلوبین-پیوستگی نامتعادل-مارکرهای چند شکلی

فهرست مطالب

	عنوان	
صفحه		
	فصل اول: مقدمه	
۱	۱- بتا تالاسمی	
۲	۲- ساختار و عملکرد هموگلوبین	
۳	۳- ژن β گلوبین	
۴	۴- پروموتر ژن β	
۵	۵- تنظیم بیان ژن	
۶	۶- اساس مولکولی β تالاسمی	
۷	۷- توالی‌های تکراری	
۸	۸- مارکرهای چندشکلی در طول قطعات محدود کننده (RFLP) در ژن‌های خوشی	
۹	۹- روش‌های مطالعه بیماری‌های ژنتیک	
۱۰	۱۰- ۱- هاپلوتیپ	
۱۱	۱۰- ۲- نمونه‌گیری برای تعیین هاپلوتیپ	
۱۲	۱۰- ۳- کاربردهای هاپلوتیپ	
۱۳	۱۰- ۴- پیوستگی نامتعادل	
۱۴	۱۰- ۵- پارامترهای اندازه‌گیری پیوستگی نامتعادل	
۱۵	۱۰- ۶- بلوک هاپلوتیپ	
۱۶	۱۰- ۷- پیوستگی نامتعادل مارکرهای پلی‌مرف در خوشی ژنی β	
۱۷	۱۰- ۸- نوترکیبی در خوشی ژنی β	
۱۸	۱۰- ۹- ۱- اندازه‌گیری پیوستگی نامتعادل	
۱۹	۱۰- ۹- ۲- بررسی کراسینگ آور در خانواده‌ها	
۲۰	۱۰- ۹- ۳- نقطه‌ی داغ خوشی ژنی بتا	
۲۱	۱۰- ۹- ۴- اهمیت نقطه‌ی داغ نوترکیبی در مطالعات پیوستگی ژنی	
۲۲	۱۰- ۹- ۵- آنالیز LD در ناحیه‌ی خوشی بتا	
۲۳	۱۰- ۹- ۶- آنالیز مولکول‌های نوترکیب در اسپرم	
۲۴	۱۰- ۹- ۷- همبستگی موتاسیون‌های β تالاسمی و هاپلوتیپ RFLP در خوشی ژنی β در مردم مدیترانه	
۲۵	۱۰- ۹- ۸- همبستگی موتاسیون‌های β تالاسمی و هاپلوتیپ RFLP در خوشی ژنی β در مردم هند	

صفحة	عنوان
۲۵	۳-۱۸-۱ تصادفی بودن توالی اطراف <i>HinfI</i> در ۵' زن β
۲۶	۱۹-۱ مارکرهای مورد استفاده در این تحقیق و اهمیت استفاده از آنها
۲۶	۲۰-۱ اهداف این مطالعه
فصل دوم: مواد و روش ها	
۲۸	۱-۲ دستگاههای مورد استفاده
۲۸	۲-۲ روش نمونه گیری از افراد
۲۸	۳-۲ روش استخراج DNA از خون
۲۹	۱-۳-۲ مواد مورد نیاز در استخراج DNA از خون
۳۰	۲-۳-۲ روش تهیه اتیلن دی‌آمینوتراستیک اسید
۳۰	۳-۳-۲ روش ساخت محلول Tris-HCl
۳۰	۴-۳-۲ تریس اتیلن دی‌آمین تراستیک
۳۱	۴-۲ بررسی خلوص و غلظت DNA ژنومی استخراج شده
۳۱	۴-۴-۱ ارزیابی کیفی DNA استخراج شده
۳۱	۴-۴-۲ ارزیابی کمی DNA استخراج شده
۳۲	۵-۲ اصول انجام تکنیک PCR
۳۲	۵-۱-۱ غلظت یون منیزیم (Mg^{+2})
۳۳	۵-۲-۱ داکسی نوکلئوتید تری فسفات‌ها (dNTPs)
۳۳	۵-۲-۲ غلظت پرایمرها
۳۳	۵-۴-۲ دمای ذوب (TM)
۳۴	۵-۵-۲ آنزیم DNA Polymerase
۳۴	۶-۵-۲ تعداد چرخه‌های تکثیر
۳۴	۶-۲ جداسازی و تکثیر قطعه مورد نظر از DNA ژنومی استخراج شده
۳۵	۷-۲ شرایط استاندارد برای یک واکنش PCR
۳۶	۸-۲ روش انجام تکنیک PCR
۳۷	۹-۲ مارکر اندازه DNA
۳۸	۱۰-۲ روش انجام الکتروفورز

صفحه	عنوان
۳۹.....	۱۱-۲ مواد مورد نیاز برای الکتروفورز.....
۳۹.....	۱-۱۱-۲ بافر TBE.....
۳۹.....	۲-۱۱-۲ اتیدیوم برمايد.....
۳۹.....	۳-۱۱-۲ لودینگ بافر.....
۴۰.....	۴-۱۱-۲ ژل آگارز.....
۴۱.....	۱۲-۲ تکنیک PCR-RFLP.....
۴۱.....	۱-۱۲-۲ مواد مورد نیاز برای هضم آنزیمی.....
۴۱.....	۱-۱-۱۲-۲ آنزیم های محدودالاشر.....
۴۱.....	۲-۱-۱۲-۲ آنزیم <i>AvaII</i>
۴۲.....	۳-۱-۱۲-۲ آنزیم <i>HindIII</i>
۴۲.....	۴-۱-۱۲-۲ آنزیم <i>RsaI</i>
۴۳.....	۱۳-۲ روش انجام تکنیک PCR-RFLP.....
۴۳.....	۱۴-۲ مطالعات بیوانفورماتیک.....
۴۳.....	۱-۱۴-۲ شناسایی مارکرهای مناسب در ناحیه ژن بتا.....
۴۴.....	۲-۱۴-۲ نرم افزار e-PCR.....
۴۵.....	۲-۱۵-۲ آنالیز آماری.....
۴۵.....	۱-۱۵-۲ تخمین فراوانی آلی با استفاده از برنامه GENEPOP.....
۴۵.....	۲-۱۵-۲ تخمین آزمون χ^2 برای مارکرهای <i>AvaII</i> و <i>RsaI</i> و <i>HindIII</i>
۴۶.....	۳-۱۵-۲ تخمین مقدار LD بین دو پلی مورفیسم.....
۴۷.....	۲-۱۵-۲ تخمین مقدار LD با استفاده از برنامه 2LD.....
۴۷.....	۲-۳-۱۵-۲ تخمین مقدار LD با استفاده از برنامه MIDAS.....
	فصل سوم: مشاهدات
۴۹.....	۱-۳ مطالعات بیوانفورماتیک.....
۴۹.....	۱-۱-۳ شناسایی و معرفی مارکرهای RFLP ناحیه ژنی بتا گلوبین تعیین دقیق جایگاه مارکر.....
۵۱.....	۲-۱-۳ نتایج reverse ePCR به منظور تائید اتصال اختصاصی پرایمر به جایگاه مورد نظر برای سه مارکر <i>AvaII</i> , <i>RsaI</i> , <i>HindIII</i>
۵۳.....	۲-۳ استخراج DNA ژنومی.....

صفحة	عنوان
۵۴	۳-۳ تکثیر مارکرهای PCR از DNA ژنومی استخراج شده به کمک <i>AvaII</i> و <i>RsaI</i> , <i>HindIII</i>
۵۴	۱-۳ تنظیم کردن دمای اتصال پرایمرها جهت انجام واکنش PCR برای مارکر <i>AvaII</i> و <i>RsaI</i> , <i>HindIII</i>
۵۵	۲-۳-۳ تعیین غلظت مناسب کلرید منیزیم ($MgCl_2$) جهت انجام واکنش PCR برای مارکرهای <i>AvaII</i> , <i>HindIII</i> و <i>RsaI</i>
۵۷	۴-۳ هضم آنزیمی محصولات PCR
۵۷	۱-۴-۳ هضم آنزیمی محصولات PCR با پرایمر اختصاصی تکثیر مارکر <i>RsaI</i>
۵۸	۲-۴-۳ هضم آنزیمی محصولات PCR با پرایمر اختصاصی تکثیر مارکر <i>AvaII</i>
۵۹	۳-۴-۳ هضم آنزیمی محصولات PCR با پرایمر اختصاصی تکثیر مارکر <i>HindIII</i>
۶۰	۵-۳ نتایج حاصل از تعیین توالی مارکر <i>HindIII</i>
۶۰	۶-۳ تخمین فراوانی آلی و درصد هتروزیگوستی مارکر <i>AvaII</i> در ژن بتا گلوبین
۶۱	۷-۳ تخمین فراوانی آلی و درصد هتروزیگوستی مارکر <i>RsaI</i> در ۵' ژن بتا گلوبین
۶۲	۸-۳ تخمین فراوانی آلی و درصد هتروزیگوستی مارکر <i>HindIII</i> در ژن $G\gamma$
۶۳	۹-۳ تخمین مقدار 'D' و χ^2 با استفاده از نرم افزار MIDAS و 2LD
فصل چهارم: بحث و نتیجه گیری	
۶۶	۱-۴ مطالعات بیوانفورماتیک
۶۷	۲-۴ بررسی فراوانی آلی مارکرهای <i>AvaII</i> , <i>RsaI</i> , <i>HindIII</i> در جمعیت ایران
۶۷	۳-۴ بررسی مقدار پیوستگی نامتعادل (LD) مارکرهای '5' نسبت به ژن β
۶۹	۴-۴ نتیجه گیری نهایی
۷۰	۵-۴ پیشنهاداتی برای مطالعات آینده
پیوست ها	
۷۱	پیوست ۱
۷۲	پیوست ۲
۷۳	منابع و مأخذ

فهرست جدول ها

	عنوان
صفحه	
۲۷.....	جدول ۲-۱ دستگاههای مورد استفاده
۲۹.....	جدول ۲-۲- ترکیبات بافر A
۲۹.....	جدول ۲-۳- ترکیبات بافر B
۳۰.....	جدول ۲-۴- ترکیبات محلول TE
۳۵.....	جدول ۲-۵ توالی برایمراهی Reverse و Forward برای تکثیر مارکرهای <i>HindIII</i> , <i>RsaI</i> , <i>AvaII</i> و
۳۵.....	جدول ۲-۶- مواد و مقدار مورد نیاز برای یک PCR به حجم ۵۰ میکرولیتر
۳۵.....	جدول ۲-۷- مواد و مقدار مورد نیاز برای انجام PCR با حجم نهایی ۵۰ میکرولیتر (پس از بهینه‌سازی‌های متعدد) برای مارکر <i>RsaI</i>
۳۶.....	جدول ۲-۸- مواد و مقدار مورد نیاز برای انجام PCR با حجم نهایی ۵۰ میکرولیتر (پس از بهینه‌سازی‌های متعدد) برای مارکرهای <i>HindIII</i> و <i>AvaII</i>
۳۶.....	جدول ۲-۹- برنامه بهینه شده نهایی دستگاه ترموسایکلر برای مارکر <i>RsaI</i>
۳۷.....	جدول ۲-۱۰- برنامه بهینه شده نهایی دستگاه ترموسایکلر برای مارکرهای <i>HindIII</i> و <i>AvaII</i>
۵۰.....	جدول ۳-۱- SNP‌هایی که در محدوده هضم آنزیمی قرار دارند.
۶۰.....	جدول ۳-۲- فراوانی آللی مارکر <i>AvaII</i> در لوکوس بتا
۶۱.....	جدول ۳-۳- درصد هتروزیگوستی و هموزیگوستی مارکر <i>AvaII</i>
۶۱.....	جدول ۳-۴- مقدار χ^2 و P با درجه آزادی یک برای مارکر <i>AvaII</i>
۶۱.....	جدول ۳-۵- فراوانی آللی مارکر <i>RsaI</i> در ۵' لوکوس بتا
۶۲.....	جدول ۳-۶- درصد هتروزیگوستی و هموزیگوستی مارکر <i>RsaI</i>
۶۲.....	جدول ۳-۷- مقدار χ^2 و P با درجه آزادی یک برای مارکر <i>RsaI</i>
۶۲.....	جدول ۳-۸- فراوانی آللی مارکر <i>HindIII</i> در لوکوس بتا
۶۳.....	جدول ۳-۹- درصد هتروزیگوستی و هموزیگوستی مارکر <i>HindIII</i>
۶۳.....	جدول ۳-۱۰- مقدار χ^2 و P با درجه آزادی یک برای مارکر <i>HindIII</i>
۶۴.....	جدول ۳-۱۱- مقدار p, D' و χ^2 محاسبه شده برای جفت مارکرهای <i>AvaII-RsaI</i> , <i>AvaII-HindIII</i> و <i>HindIII-RsaI</i> با استفاده از 2LD
۶۴.....	جدول ۳-۱۲- مقدار p, D' و χ^2 محاسبه شده برای جفت مارکرهای <i>AvaII-RsaI</i> , <i>AvaII-HindIII</i> و <i>MIDAS</i> با استفاده از <i>HindIII-RsaI</i>

فهرست شکل ها

صفحه	عنوان
۳	شکل ۱-۱ ناحیه‌ی خوشه‌ی β و نواحی اطراف آن روی کروموزم ۱۱p
۶	شکل ۲-۱ حذفهای ساختاری زن β گلوبین
۷	شکل ۳-۱ مارکرهای RFLP خوشه‌ی β و جایگاه آن.
۱۳	شکل ۴-۱ خوشه‌ی β و مجموعه‌ای از مارکرهای RFLP پلیمرف...
۱۵	شکل ۵-۱ خوشه‌ی β و جایگاه نقطه‌ی داغ که در محدوده <i>HgiAI</i> و <i>TaqI</i> تعریف می‌شود
۱۸	شکل ۶-۱ یک ناحیه ۱۴۵kb از کروموزم ۴ که حاوی ۱۴ SNP می‌باشد
۲۰	شکل ۷-۱ یک نمودار شماتیک که هر خانه حاوی اندازه‌گیری جفت جفت از مقدار پیوستگی نامتعادل بین دو SNP است
۲۱	شکل ۸-۱ توزیع نقاط کراسینگ‌آور در نقطه‌داغ زن β در اسپرم
۲۲	شکل ۹-۱ هاپلوتیپ‌های RFLP در β تالاسمی
۲۳	شکل ۱۰-۱ همبستگی موتاسیون‌های β تالاسمی و هاپلوتیپ RFLP در خوشه‌ی β
۲۴	شکل ۱۱-۱ هاپلوتیپ‌های RFLP در β تالاسمی
۲۵	شکل ۱۲-۱ همبستگی موتاسیون‌های β تالاسمی و هاپلوتیپ RFLP در خوشه‌ی β
۲۶	شکل ۱۳-۱ ساختار نوکلئوتیدی' ۵ زن بتا گلوبین که در افزایش نوترکیبی نقش دارد
۳۸	شکل ۱-۲ مارکر مورد استفاده در این تحقیق GeneRuler 100bp DNA Plus Ladder.
۴۸	شکل ۲-۲ فراوانی هاپلوتیپی و میزان LD در MIDAS
۵۰	شکل ۱-۳. جایگاه مربوط به آنزیم‌های محدودکننده <i>HindIII</i> و SNP مربوطه در پایگاه UCSC
۵۰	شکل ۲-۳ SNP ناحیه‌ی ایترونی IVS-II-849 در پایگاه HbVar
۵۱	شکل ۳-۳ نتیجه reverse ePCR برای مارکر <i>RsaI</i> در پایگاه NCBI
۵۲	شکل ۴-۳ نتیجه reverse ePCR برای مارکر <i>HindIII</i>
۵۲	شکل ۵-۳ نتیجه reverse ePCR برای مارکر <i>AvaII</i>
۵۳	شکل ۶-۳ نتایج استخراج DNA تام ژنومی از خون انسان بر روی ژل آگارز ۱٪
۵۴	شکل ۷-۳ نتیجه گرادیان دمایی مارکرهای <i>HindIII,AvaII</i> بر روی ژل آگارز
۵۵	شکل ۸-۳ نتیجه گرادیان دمایی مارکر <i>RsaI</i> بر روی ژل آگارز ۱٪
۵۶	شکل ۹-۳ تعیین غلظت مناسب $MgCl_2$ جهت انجام واکنش PCR برای مارکر <i>AvaII</i> بر روی ژل آگارز ۱٪
۵۶	شکل ۱۰-۳ تعیین غلظت مناسب $MgCl_2$ جهت انجام واکنش PCR برای مارکر <i>HindIII</i> بر روی ژل آگارز ۱٪

صفحه

عنوان

- شکل ۱۱-۳ تعیین غلظت مناسب $MgCl_2$ جهت انجام واکنش PCR برای مارکر RsaI بر روی ژل اگارز %.۱ ۵۷
- شکل ۱۲-۳ هضم آنزیمی محصولات PCR با آنزیم RsaI ۵۸
- شکل ۱۳-۳ هضم آنزیمی محصولات PCR با آنزیم AvaII ۵۹
- شکل ۱۴-۳ هضم آنزیمی محصولات PCR با آنزیم *Hind*III ۵۹

فصل اول

مقدمه

۱-۱ بتا تالاسمی

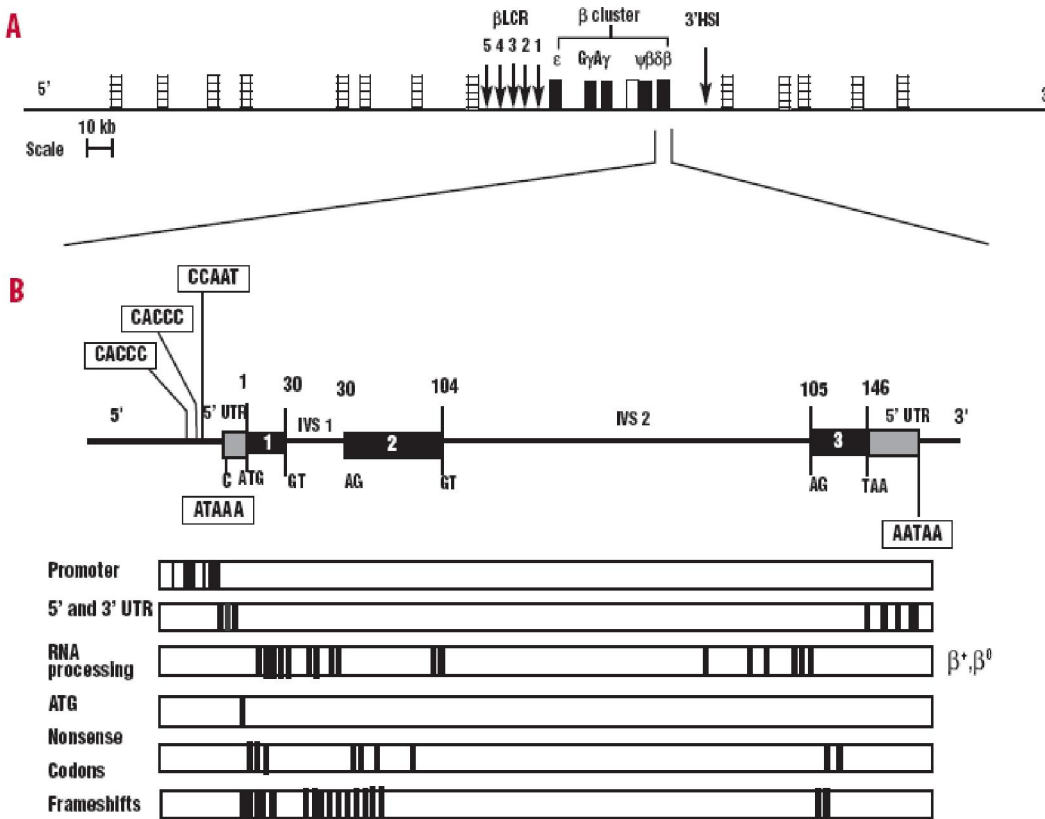
بتا تالاسمی یک بیماری مغلوب اتوزمی است که با کاهش (β^0) یا عدم سنتز (β^+) زنجیره‌ی بتا همراه است. این بیماری یکی از شایع‌ترین بیماری‌ها در جهان است که در میان افراد مدیترانه تبار، آفریقا، خاورمیانه، هند، چین و آسیای جنوب شرقی شیوع دارد (۱). تولید کاهش یافته‌ی بتا گلوبین باعث کم خونی میکروسیتر هیپوکرومیک می‌شود. عدم تعادل در سنتز گلوبین منجر به رسوب زنجیره‌های مازاد گلوبین آلفا در گلبول قرمز و آسیب زدن به غشاء آن‌ها می‌شود. شدت تالاسمی با شدت عدم توازن بین β و α متناسب می‌باشد (۲). فوتیپ‌های β تالاسمی به سه گروه تقسیم می‌شوند که شامل تالاسمی مژور، تالاسمی اینترمدها و صفت بتا تالاسمی می‌باشد (۱). تالاسمی مژور شدیدترین فرم بیماری است که نیاز به تزریق خون مداوم دارند و برای آلل β^0 هموزیگوت یا هتروزیگوت مرکب است (۳). صفت بتا تالاسمی کمترین حالت فنوتیپی است که آنمی هیپوکرومیک میکروسیتیک خفیف دارند و یک آلل β تالاسمی (β^0 یا β^+) را به ارث می‌برند (۳). تالاسمی اینترمدها، حد بواسطه دو تالاسمی قبلی است و طیف فنوتیپی وسیعی دارد که شدت بیماری آنها کمتر از افرادی است که نیازمند تزریق خون هستند تا افراد که علامتی ندارند و بر اثر به ارث رسیدن یک یا دو آلل β ایجاد می‌شود (۳).

۱-۲ ساختار و عملکرد هموگلوبین

هموگلوبین ناقل اکسیژن در گلوبول قرمز مهره‌داران است. دارای چهار زیر واحد است، دو زنجیره‌ی α و دو زنجیره‌ی β . هر زیر واحد از یک زنجیره‌ی پلی‌پیتیدی و یک گروه پروستاتیک موسوم به هم، که با اکسیژن ترکیب می‌شود و به مولکول توانائی انتقال اکسیژن می‌دهد، تشکیل شده است. ساختار گلوبین در طول تکامل حفظ شده و از ۸ ناحیه‌ی مارپیچی تشکیل شده (A تا H). فقط دو اسیدآمینه وجود دارد (His 92, Phe 42) که در تمام گلوبین‌ها حفظ شده و جهش در هر کدام، با بیماری همراه است (۴).

۳-۱ ژن β گلوبین

ژن β گلوبین در خوشه‌ی ژنی بتا به وسعت ۷۰ kb روی بازوی کوتاه کروموزم ۱۱ (۱۵.۴ p ۱۱) قرار دارد که خوشه‌ی ژنی بتا دارای ۵ ژن عملکردی (۳'-ε- $\Psi\beta$ - δ - β -۳') است که با ترتیب توالی یکسان و مرتبی در طی نمو بیان می‌شوند. ژن β گلوبین کدکننده‌ی ۱۴۶ اسیدآمینه و ۱۶۰۰ bp است. حاوی ۳ اگرون و ۲ ایترن است (۱). اگرون ۲ ناحیه‌ی اتصال هم را دارد و نیز ناحیه‌ای که دایمر $\alpha\beta$ شکل می‌گیرد. اگرون ۳ دارای اسیدآمینه‌های مؤثر در واکنش بوهر و اتصال ۲،۳ دی فسفوگلیسرات می‌باشد. ۵' UTR دارای ۵۰ نوکلئوتید بین انتهای ۵' یا ناحیه‌ی کلاهک گذاری و کدون آغازین ATG است. دو ناحیه‌ی حفاظت‌شده‌ی آن شامل توالی‌های CTTCTG و CACCATG است که در توالی اول ATG کدون آغازین است و توالی دوم ۸ تا ۱۳ نوکلئوتید پائین دست cap قرار دارد. موتاسیون‌های مختلف در این توالی‌ها سبب بتاتالاسمی می‌شود. ۳'-UTR به طول ۱۳۲ نوکلئوتید و با توالی حفاظتی AATAAA بین کدون پایانی و دم پلی A قرار دارد. موتاسیون‌های مختلف در ۳'-UTR سبب بتاتالاسمی می‌شود (۳، ۱).



۱- ناحیه‌ی خوشی ژنی β و نواحی اطراف آن روی کروموزم ۱۱p.

(A) ژن‌های خوشی β که شامل $' - G\gamma - A\gamma - \psi\beta - \delta - \beta - 3'$ است با جعبه‌های سیاه نشان داده شده است. (B) ژن‌های خوشی سفید نمایش داده شده است. جایگاه حساس 5' در LCR و جایگاه حساس 3' (3'HS1) توسط فاش $\Psi\beta$ با جعبه‌ی سفید نمایش داده شده است. جعبه‌های نزدیکی ژن‌های گیرنده‌ی بولیاری را نشان می‌دهد. (B) ساختار ژنی β با سه اگزون و دو ایترنون نشان داده شده است. نواحی حفاظت شده در جعبه‌های سفیدرنگ نمایش داده می‌شود. انواع مختلف جهش‌های نقطه‌ای که سبب بتاتالاسمی می‌شوند در زیر ژن β نشان داده شده است (۳).

۴- پرموتر ژن β

پرموتر ژن بتا از سه عنصر تشکیل شده که به صورت سیس عمل می‌کنند که عبارت‌اند از:

۱- جعبه‌ی TATA که در موقعیت ۲۸-تا-۳۱ قرار دارد.

۲- جعبه‌ی CCAAT که در موقعیت ۷۶-تا-۷۲ قرار دارد.

۳- توالی دوبل شده‌ی CACCC در موقعیت ۹۰-تا-۸۶ در ناحیه‌ی نزدیک و ۱۰۱-تا-۱۰۵ در ناحیه‌ی دور قرار

دارد (۳، ۱) (شکل ۱-B).

این سه ناحیه توسط فاکتور رونویسی یوبیکویته شناسایی می‌شوند. دو توالی اول در پرموتر بسیاری از ژن‌های یوکاریوتی یافت می‌شوند، در حالی که توالی CACCC مخصوص سلول‌های اریتروئیدی است. ژن ۸ انسانی دارای سه توالی مشابه CCAAT است ولی هیچ کدام تشابه توالی کاملی ندارد و توالی CACCC را نیز ندارد. به همین جهت بیان ژن دلتا پائین است (۵).

۱-۵ تنظیم بیان ژن

بالادرست خوشی ژنی بتا، ناحیه‌ی کترل لکوس بتا (LCR) قرار دارد که کترل کننده‌ی بیان ژن‌های خوش است. LCR هم مسئول بیان بسیار زیاد ژن‌ها در هر دسته و هم زمان‌بندی درست بیان آن در طول تکامل است. کترل بیان ژن در خوشی بتا توسط LCR با دو مکانیسم انجام می‌شود. اول، LCR یک قلمرو کروماتین باز را ارائه می‌کند که عوامل نسخه‌برداری به عناصر تنظیمی درون خوش دسترسی پیدا کنند. دوم، به عنوان یک تقویت‌کننده‌ی نسخه‌برداری از ژن‌ها، در دسته‌جات ژنی عمل می‌کند (۶). LCR دارای ۵ جایگاه حساس به DNase1 است (HS1) که ۲ Kb تا ۶۰ Kb در ۵' ژن ۳' قرار دارد. هر HS دارای توالی برای چندین فاکتور رونویسی است. از جمله‌ی این فاکتورهای رونویسی می‌توان به GATA-1 و NF-E2 که خاص سلول‌های اریتروئیدی است، اشاره کرد. یک جایگاه حساس دیگر در فاصله‌ی kb ۲۰ از ۳' ژن β وجود دارد. این دو ناحیه محدوده‌ی ژنی خوشی β را تعیین می‌کنند (شکل ۱-۱). خوشی ژنی بتا توسط مجموعه‌ای از ژنهای گیرنده‌ی بیویایی احاطه شده است (۳،۷).

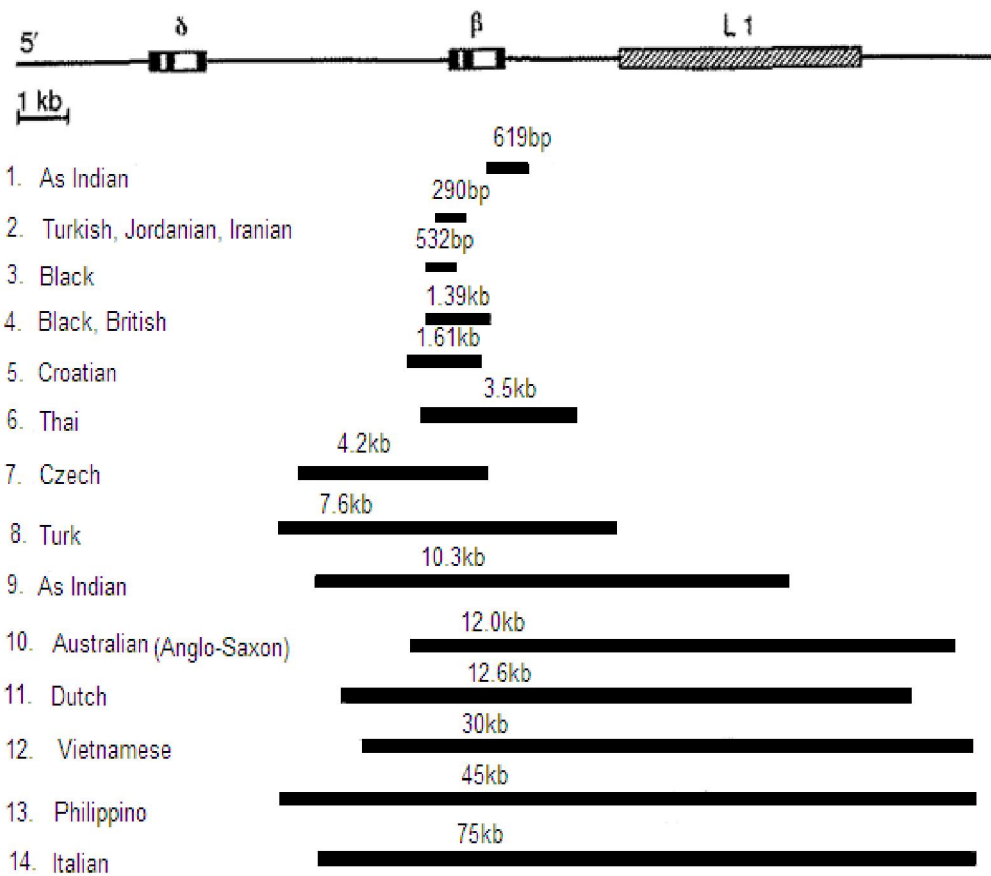
اتصال فاکتور اریتروئیدی EKLF (Krüppel) به توالی CACCC برای بیان طبیعی ژن β ضروری است (۷،۸). ناحیه‌ی ۵' بسیاری از ژن‌های گلوپین دارای یک یا دو توالی (A/T)GATA(A/G) می‌باشد که فاکتور رونویسی GATA-1 به آن متصل می‌شود. همچنین توالی‌های افزایش‌دهنده و LCR دارای این توالی هستند (۹). بالادرست پرماتور ژن β دو ناحیه اتصالی برای GATA-1 وجود دارد (۱۰). وجود این توالی‌ها برای بیان طبیعی ژن ضروری است و جهش‌های نقطه‌ای در داخل و اطراف جعبه‌ی TATA و جعبه‌ی CACCC سبب بتا تالاسمی می‌شود. یک افزایش‌دهنده در اینtron ۲ و ۶۰۰ bp تا ۹۰۰ bp پائین دست ژن β وجود دارد (۳).

۱-۶ اساس مولکولی β تالاسمی

حدود ۲۰۰ آلل β تالاسمی شناسائی شده^۱ که بیشتر آنها جهش‌های نقطه‌ای در ژن یا نواحی اطراف ژنی است (۱۱). بعضی از جهش‌ها نتیجه‌ی نقص در مسیرهای مربوط به برهمکنش بین LCR و پروموتر هر ژن در خوشه‌ی β است.

بر خلاف α تالاسمی، β تالاسمی به ندرت بر اثر حذف ژنی بزرگ ایجاد می‌شود. دو گروه از حذف‌های β تالاسمی شامل: ۱- حذف ناحیه بالادست (LCR) و ۲- حذف‌های ساختاری در ژن β . ۱۴ نوع حذف‌های ساختاری در ژن β دیده شده که در شکل ۲-۱ نشان داده شده است. طول ناحیه حذفی می‌تواند از ۲۹۰ bp تا بیش از ۶۰ Kb می‌باشد. از بین این حذف‌ها تنها حذف ۶۱۸bp در ژن β در مردم هند و پاکستان شایع است (۱۲، ۱۳). بقیه حذف‌های ساختاری اگر چه نادرند ولی سبب افزایش در میزان HbA2 می‌شوند، اینها معمولاً سبب حذف ناحیه ۷۸۵-تا ۱۲۵+ می‌شوند که در اصل ناحیه پروموتوری ژن β را حذف می‌کند. این نشاندهنده‌ی نقش ناحیه ۵' ژن β در عدم بیان HbA2 است. حذف این ناحیه سبب عدم رقابت برای LCR شده، در نتیجه برهمکنش LCR با ژن‌های δ , γ افزایش یافته، بیان این ژن‌ها زیاد شده، HbF و HbA2 در افراد هتروزیگوت بالا می‌رود. اغلب آلل‌های بتاتالاسمی بر اثر جهش‌های نقطه‌ای در اگزون یا ایترون ایجاد می‌شوند که می‌توانند روی رونویسی، پیرایش و پردازش RNA، ترجمه و تنظیم بیان ژن تأثیرگذار باشند. جهش‌های تأثیرگذار روی رونویسی شامل ناحیه پروموتوری و ۵'-UTR می‌باشد. جهش‌های اتصال‌دهنده‌ی نقاط پیرایش، جهش‌های ایترون و جهش‌های اگزونی موثر بر پیرایش، جهش پلی‌آدنیلاسون و ۵'-UTR ۵' جزء نقایص پیرایش هستند. تقریباً نیمی از آلل‌های β تالاسمی روی مراحل مختلف ترجمه RNA تأثیر می‌گذارند و سبب β تالاسمی می‌شوند. جهش‌های بی معنی و تغییرقالب جزء این دسته هستند (۱، ۳).

¹ <http://globin.cse.psu.edu/globin/hbva> قابل دسترس است در



شکل ۲-۱ حذف‌های ساختاری ژن β گلوبین.

در قسمت بالای شکل دو ژن δ و β و توالی تکراری $KpnI$ در $L1$, β نشان داده شده است. حذف‌های متفاوت شایع در جمیعت‌های گوناگون در زیر شکل نشان داده شده است (۲).

۷-۱ توالی‌های تکراری

توالی تکراری در ناحیه خوشی ژنی β شامل: ۱- توالی تکراری کوتاه $(CA)_n$ و $(ATTTT)_n$ بین ژن δ و β می‌باشد. ۲- توالی تکراری پراکنده $AluI$, $KpnI$, $AluI$, $KpnI$ در ژن β در طرف ژن γ , بالا دست δ و پائین دست β واقع شده و توالی $AluI$ در ایجاد حذف‌های گوناگون خوشی ژنی β مؤثر است و توالی‌های تکراری $(CA)_n$, $(ATTTT)_n$ به عنوان نقاط داغ برای نوترکیبی معرفی می‌شوند (۱۴).